

7. Луцак Е. М., Бочечка О. О., Ткач В. М., Білявина Н. М. Вивчення взаємодії в системах Си–  
Ti–алмаз і Co–W–алмаз при змочуванні алмазних полікристалів та просочуванні алмазного  
нанопорошку УДА в умовах високих тиску і температури // Сверхтвердые материалы. –  
2014. – № 1. – С. 33-39.

Надійшла 21.07.15

УДК 621.921.34-492.544.023.5:539.215

**В. Г. Полторацкий**, канд. техн. наук<sup>1</sup>, **В. И. Лавриненко**, д-р. техн. наук<sup>1</sup>, **М. Н. Сафонова**, канд.  
техн. наук<sup>2</sup>, **Г. А. Петасюк<sup>1</sup>**, **А. А. Девицкий**, кандидаты технических наук<sup>1</sup>, **В. С. Шамраева<sup>1</sup>**

<sup>1</sup>Институт сверхтвердых материалов им. В.Н. Бакуля НАН Украины, г. Киев

<sup>2</sup>Северо-Восточный федеральный университет им. М.К. Аммосова, г. Якутск, Россия

**НОВЫЙ КОМПОЗИЦИОННЫЙ АБРАЗИВНЫЙ МАТЕРИАЛ НА ОСНОВЕ  
НЕВОСТРЕБОВАННЫХ МЕЛКОДИСПЕРСНЫХ МИКРОПОРОШКОВ  
ПРИРОДНОГО АЛМАЗА И ШЛИФПОРОШКОВ СИНТЕТИЧЕСКОГО АЛМАЗА:  
ПОЛУЧЕНИЕ И ПРИМЕНЕНИЕ**

Приведены результаты изучения возможностей использования компактированных углеродной связкой разнодисперсных порошков синтетического и природного алмаза в шлифовальных кругах при обработке твердых сплавов. Показано, что при частичной (50%) или полной замена синтетических алмазов компактированными порошками существенно (более чем в 3 раза) повышается износостойкость алмазных шлифовальных кругов.

**Ключевые слова:** углеродная связка, порошки якутского природного алмаза, компакты, шлифпорошки, шлифовальные круги, износостойкость.

**Введение**

Комплексная переработка добываемых природных алмазов предусматривает операции классификации (сортировки) на ювелирные и технические природные алмазы, раскалывания, распиливания и обдирки ювелирных алмазов, разделения и диспергирования технических природных алмазов в целях выделения кондиционных порошков природного алмаза различных классов зернистости [1]. На финишной стадии этих операций получают конечный продукт (непереработанный остаток алмазного порошка), дальнейшая переработка которого в силу определенных причин (преимущественно экономического характера) нецелесообразна. Обычно глубина такого извлечения кондиционных порошков природного алмаза ограничивается мелкими зернистостями микронных и субмикронными порошками, которые переходят таким образом в разряд отходов. Такое название в значительной мере условно. Фактически это пригодные для дальнейшего использования алмазные порошки. Однако в силу указанных ранее причин они на неопределенное время остались невостребованными, к тому же с тенденцией к накоплению. Поэтому актуальной является задача вовлечения этих невостребованных (неходовых) порошков природного алмаза (НППА) в сферу экономически выгодного практического использования. Решение этой задачи связано с поиском способов и сфер эффективного применения таких порошков-отходов.

Одним из направлений в решении обозначенной проблемы является компактирование НППА методом их спекания в газотермическом реакторе установки физико-химического синтеза при температуре 1100 °–1200 °C и давлении ниже атмосферного с последующим изготовлением из полученных компактов шлифпорошков всей гаммы зернистостей – 630/500–50/40 и –40 мкм [2].

В целях изучения перспектив и путей решения проблемы использования в инструментальном производстве шлифпорошков из компактированных НППА были определены их физические свойства,

элементный состав примесей, а также технологические свойства непосредственно НППА как абразивного материала. Исследовали также их размерные и геометрические характеристики, характеристики формы проекции зерен (совокупно морфометрические характеристики). Методики экспериментальных исследований исходных НППА и полученные результаты подробно изложены в [2]. По результатам исследований констатируем, что представленные субмикронные НППА пригодны для изготовления из них компактов методами физико-химического синтеза при давлении ниже атмосферного.

### Изготовление опытных образцов композиционных материалов на основе НППА

Композиционный материал на основе НППА получили спеканием в газотермическом реакторе установки физико-химического синтеза при температуре 1100–1200 °C и давлении ниже атмосферного в среде углеродсодержащего газа – метана ( $\text{CH}_4$ ).

Методика приготовления порошковых композиций и осуществления физико-химического синтеза подробно описаны в [2]. На основании полученных результатов экспериментальных исследований установили оптимальные технологические режимы компактирования НППА указанным методом. Изготавливали первичные компакты прессованием при комнатной температуре. В качестве связки исследовали несколько поверхностно активных веществ, оптимальными из которых оказались растворы клея БФ в этиловом спирте и желатина в дистиллированной воде.



Рис. 1. Внешний вид компактов из НППА

В результате получили компакты в форме цилиндра диаметром 12–15 мм и высотой 15 мм (рис. 1).

### Изготовление порошков из композиционных компактов

Порошки из компактированных НППА изготавливали на соответствующем дробильно-классификационном оборудовании и вибростолах на оптимальных режимах. Морфометрические характеристики композиционных шлифпорошков, изготовленных из компактированных НППА, которые структурированы наноуглеродом, диагностировали с помощью прибора DiaInspect.OSM [3]. Определяли площадь проекции зерна ( $A_t$ ,  $\text{мкм}^2$ ), периметры фактического его контура ( $p$ ,  $\text{мкм}$ ), максимальный ( $F_{max}$ ,  $\text{мкм}$ ) и минимальный ( $F_{min}$ ,  $\text{мкм}$ ) диаметры Feret, эквивалентный ( $d_e$ ,  $\text{мкм}$ ) диаметр зерна, форм-фактор фактического изображения проекции зерна ( $f_r$ ), Feret-удлинение ( $F_e$ ), шероховатость ( $Rg$ ) и коэффициент уплощения зерен ( $f_{upl}$ ). Интерпретация геометрической сущности перечисленных выше морфометрических характеристик и более полное их описание приведены в [4].

Такие технологические свойства, как внешняя удельная поверхность, количество зерен в одном карате порошка, количество и среднее значение углов заострения режущих кромок, определяли по данным DiaInspect-диагностики морфометрических характеристик с использованием разработанных в ИСМ оригинальных компьютерно-аналитических методик [4, 5]. Результаты диагностики приведены в таблице 1.

Таблица 1. Средние значения ( $C_{знач.}$ ) и однородность (Однор.) морфометрических характеристик и технологические свойства шлифпорошков зернистостей 125/100 и 160/125, изготовленных из компактированных НППА

Характеристика	Компакт-А*				Компакт-Б**			
	160/125		125/100		160/125		125/100	
	$C_{знач.}$	Однор.	$C_{знач.}$	Однор.	$C_{знач.}$	Однор.	$C_{знач.}$	Однор.
$F_{max}$ , $\text{мкм}$	215,5	0,6345	164,7	0,5938	213,7	0,6775	179,2	0,6921
$F_{min}$ , $\text{мкм}$	160,6	0,6463	116,8	0,5968	163,8	0,7323	134,8	0,7232

Окончание таблицы 1.

$f_r$	1,3241	0,7187	1,4642	0,5603	1,3963	0,6418	1,3940	0,6627
$F_e$	1,3480	0,5563	1,4167	0,5173	1,3099	0,5887	1,3418	0,5745
$f_{\text{упл}}$	0,5794	0,8103	0,5892	0,7804	0,5788	0,8265	0,6271	0,8206
$Rg$	1,0725	0,6799	1,0949	0,5629	1,0936	0,5224	1,0854	0,6028
$d_3, \text{ мкм}$	177,6	0,6480	129,7479	0,6513	176,8	0,7495	146,2	0,7140
$A_t, \text{ мкм}^2$	25959	0,4984	13844	0,5019	25025	0,5659	17263	0,6310
$p, \text{ мкм}$	641,0	0,6362	491,15	0,5871	655,8	0,6689	542,0	0,7157
$F_{\text{уд}}, \text{ м}^2/\text{кг}$	28,60	-	41,32	-	28,55	-	36,01	-
$N, \text{ шт.}$	25467	-	65063	-	27505	-	50166	-
$n, \text{ шт.}$	9,6	-	11,5	-	11,7	-	10,6	-
$\varphi, {}^\circ$	94,5	-	106,24	-	101,39	-	100,21	-

\* Порошки из субмикропорошка НППА-3 (3–0 мкм).

\*\* Порошки из смеси субмикропорошка НППА-3 (3–0 мкм) и стандартного шлифпорошка АСб 160/125 в равных пропорциях.

### Испытание шлифпорошков из композиционного материала на основе НППА в инструменте

В последнее время в сфере алмазно-абразивной обработки значительное внимание уделяют именно порошкам из композиционных СТМ [6, 7]. Обусловлено это тем, что, с одной стороны, в них сочетаются свойства составляющих композиционного материала, с другой – есть возможность воздействовать на свойства получаемого композиционного материала путем выбора процентного соотношения компонентных составляющих, параметров и условий синтеза материала. Использование таких абразивных порошков открывает новые перспективы в сфере алмазно-абразивной обработки.

Особого внимания заслуживают компакты, состоящие из алмаза, окруженного сверхтвердой оболочкой [2]. В отличие от технологических покрытий зерен СТМ такая оболочка позволяет повысить прочность удержание компакта в связующем, поскольку поверхность зерна становится более развитой. Она также обеспечивает возможность доставки необходимых элементов непосредственно в зону резания зерном, и это позволяет изменять контактные процессы в указанной зоне. Было установлено

[8, 9], что подобные покрытия изменяют характер контактных процессов в зоне обработки и тем самым непосредственно влияют на показатели шлифования. При этом в зоне контакта инструмента с деталью наблюдается электризация вследствие трения контактного контакта абразивного слоя шлифовального круга с обрабатываемой поверхностью. Выявлена определенная связь возникающей при шлифовании электризации с износостойкостью абразивного инструмента [8]. Одним из путей регулирования уровня электризации является введение в рабочей слой шлифовальных кругов дополнительных примесей (компактов), а также применение покрытий зерен СТМ.

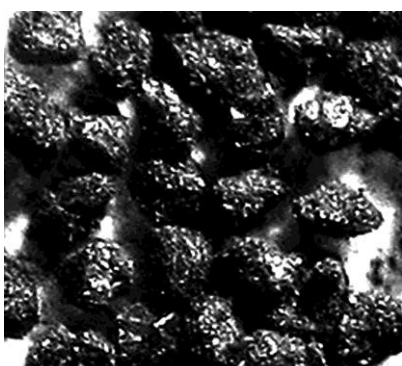


Рис. 2. Фотография шлифпорошков КЯ 160/125 из компактов на основе НППА 3/0, увеличение ×100

использования шлифпорошков зернистостью 160/125 (КЯ 160/125, рис. 2) из полученного нового композиционного материала в шлифовальных кругах. Исследовали физико-механические и электрофизические свойства, технологические и морфометрические характеристики шлифпорошков

КЯ 160/125 и стандартных шлифпорошков AC6 125/100 и AC6 160/125 (табл. 2).

**Таблица 2. Физико-механические и электрофизические свойства, технологические и морфометрические характеристики стандартных шлифпорошков СА и шлифпорошков из компактов на основе НППА**

Характеристика абразивного порошка	Значение для порошка		
	AC6 125/100	КЯ 160/125	AC6 160/100
Прочность, Н	5,8	5,3	5,9
Удельное электросопротивление, Ом·м	$5 \cdot 10^8$	0,20	$5 \cdot 10^8$
Абразивная способность, мг, по меди	83,5	66,3	93,7
Потеря массы на воздухе при 900 °C, %	2,9	0,7	3,0
Термостабильность, аргон, 1000 °C, 10 мин	0,87	0,93	0,89
$f_r$	1,3232	1,2751	1,2418
$d_9$ , мкм	156,54	176,76	186,72
$Rg$	1,0746	1,0936	1,0770
$A_t$ , мкм <sup>2</sup>	19463	25025	27622
$p$ , мкм	579,12	655,84	684,00
$F_{\text{уд}}$ , м <sup>2</sup> / кг	43,11	28,55	34,88
$n$ , шт.	10	11,7	11
$\phi$ , °	99,3	101,4	102,8

Результаты анализа данных табл. 2 свидетельствуют, что некоторым характеристикам шлифпорошки из компакта на основе НППА находятся посередине между двух зернистостей алмазов. Они, естественно, выше, чем у шлифпорошков AC6 125/100, но уступают аналогичным параметрам шлифпорошков AC6 160/125. Однако при этом по трем показателям шлифпорошки из компактированных НППА отличаются существенно: шероховатость зерен компактов сильнее, внешняя удельная площадь поверхности меньше, а количество режущих кромок – наибольшее. Логично предположить, что в вследствие этого должна повыситься прочность удержание зерен этих шлифпорошков в связке и снизиться электризация при обработке. Эти предположения подтверждены экспериментально [8].

В настоящей работе изучали также особенности шлифования твердого сплава ВК6 шлифовальными кругами формы 12A2-45° типоразмера 125×5×3×32 на полимерном связующем В2-08 при 100%-й относительной концентрации порошка в рабочем слое. Такие круги изготавливали с рабочим слоем двух вариантов: на основе стандартного шлифпорошка AC6 125/100 и шлифпорошков из компактов на основе НППА, полученных из указанного стандартного шлифпорошка и субмикронных фракций порошков природного якутского алмаза в равных пропорциях. Зернистость этих шлифпорошков (см. рис. 2) составляла 160/125. Шлифование проводилось на модернизированном универсальном заточном станке 3В642 при различной производительности обработки без охлаждения. Для изучения особенностей контактных процессов в зоне шлифования экспериментальными кругами определяли напряженность электростатического поля продуктов шлифования (шлама), шероховатость обрабатываемой поверхности, а также рассчитывали линейным методом (в соответствии с ГОСТ 16181-82) относительный расход зерен порошка из сверхтвердых материалов.

В результате исследований установили, что с введением в рабочий слой круга смеси из алмазного порошка AC6 125/100 и шлифпорошка условной марки КЯ 160/125 в равных пропорциях снижается электризация и соответственно износ шлифовального круга. Данные относительно шлифования кругом со смесью в рабочем слое указанных шлифпорошков (по 50%) приведены в табл. 3.

Таблица 3. Эксплуатационные показатели процесса шлифования твердого сплава ВК8 кругами с различным рабочим слоем

Характеристики рабочего слоя шлифовального круга	$Q$ , $\text{мм}^3/\text{мин}$	$E$ , $\text{kV/m}$	$q_p$ , $\text{мг/г}$	$R_a$ , $\mu\text{м}$
AC6 125/100–B2-08-100	200	-0,2	4,23	0,32
	300	-0,6	9,98	0,30
	400	-1,4	18,27	0,42
	500	-2,0	23,84	0,44
КЯ 160/125–B2-08-100	200	-0,1	2,19	0,42
	300	-0,3	5,39	0,43
	400	-1,4	11,85	0,54
	500	-1,6	12,78	0,64
Смесь [AC6 125/100–50% +КЯ 160/125–50%]–B2-08-100	200	-0,1	1,81	0,31
	300	-0,2	4,65	0,30
	400	-1,2	6,33	0,43
	500	-1,2	6,49	0,47

Как показали результаты сравнительного анализа при низкой производительности шлифования ( $Q=200–300 \text{ mm}^3/\text{мин}$ ) электризация  $E$  уменьшается несущественно. Соответственно, износ круга со смесью в рабочем слое абразива снижается на 15–20%. При высокой производительности обработки (400–500  $\text{mm}^3/\text{мин}$ ) электризация уменьшается существенное (с 1,6 до 1,2  $\text{kV/m}$ ). Соответственно, и износ круга ( $q$ ) снижается почти в 2 раза.

Графическая интерпретация полученных результатов представлена на рис. 3.

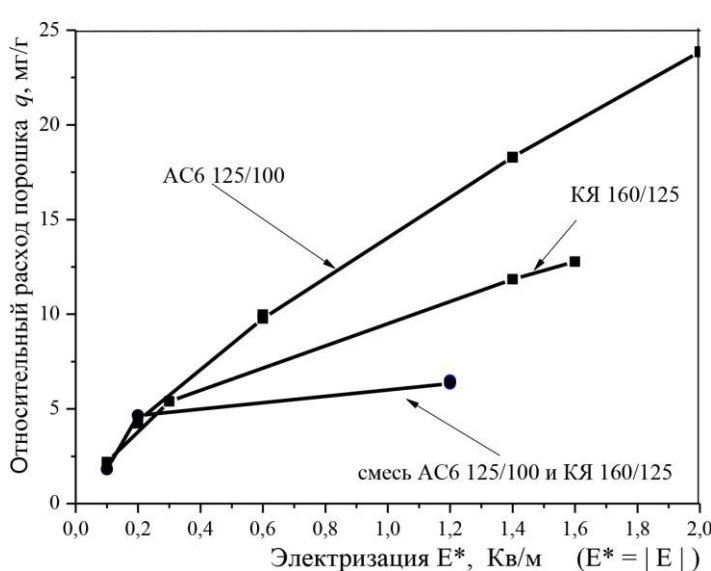


Рис. 3. Кривые взаимосвязи относительного расхода зерен СТМ и абсолютного значения напряженности электростатического поля ( $E^*$ ) шлама при шлифовании твердого сплава ВК6 для различных сочетаний абразивов в рабочем слое круга

(табл. 3) по сравнению с обработкой поверхности стандартным алмазным кругом. В случае введения смеси алмазов и компактов при низкой производительности шлифования ( $200–300 \text{ mm}^3/\text{мин}$ )

Эти данные подтверждают вывод о том, что напряженность электростатического поля является определенным оценочным критерием, по которому можно непосредственно судить о характере шлифования, в том числе износе алмазно-абразивного инструмента. При этом характер указанной связи зависит от абразива в рабочем слое. Также следует заметить, что шероховатость  $R_a$  обработанной поверхности твердого сплава ВК6 после шлифования абразивными кругами с введением в абразивный слой порошков из компактов на основе НППА и порошков синтетического алмаза несколько повышается

шероховатость обработанной поверхности остается такой же, как и в случае обработки стандартными алмазными кругами, а при более высокой производительности несколько повышается (см. табл. 3).

На основании экспериментальных данных с использованием компьютерно-программной системы многовариантного построения и анализа эмпирических математических моделей LrAprox [10] получили аппроксимирующие зависимости, описывающие взаимосвязь относительного расхода абразивных зерен при обработке и абсолютного значения напряженности электростатического поля шлама для различных кругов:

для круга AC6 125/100–B2-08–100

$$y = \sqrt{2 - x}; \quad (2)$$

для круга КЯ 160/125–B2-08–100

$$y = \frac{1}{\left[ 0,078 + \frac{0,183}{\sqrt{x}} \right]^2}; \quad (3)$$

смеси [AC6 125/100–50+ Я 160/125–50] – B2-08–100

$$y = \frac{1}{1,3363 + 0,007x^{2,75}}. \quad (4)$$

Маркировка кругов соответствует указанной в табл. 3.

### **Выводы**

1. В результате исследования установлено, что образующиеся при переработке природного алмаза невостребованные мелкодисперсные порошки пригодны для изготовления из них компакты физико-химическим синтезом при давлении ниже атмосферного. Из компактированных невостребованных порошков природного алмаза как абразивного инструментального материала избирательным дроблением и последующей виброситовой классификацией можно изготавливать шлифпорошки широкой гаммы зернистости.

2. Изучены физико-механические и морфометрические характеристики порошков, полученных из невостребованных мелкодисперсных природных алмазов, а также эксплуатационные показатели процесса шлифования твердого сплава BK8 изготовленными из них кругами.

3. Напряженность электростатического поля является определенным оценочным критерием, по которому можно непосредственно судить о характере процесса шлифования, в том числе износе алмазно-абразивного инструмента.

4. С точки зрения износостойкости шлифовальных кругов и качества обработанной поверхности детали в целом при шлифовании твердого сплава BK8 целесообразно применять круги в рабочем слое со смесью в равных пропорциях стандартного шлифпорошка AC6 125/100 и шлифпорошка КЯ 160/125–50 на основе мелкодисперсного порошка якутских природных алмазов. В сравнении со стандартным инструментом износостойкость таких кругов при высокой производительности обработки повышается более чем в 3 раза.

*Наведено результати вивчення можливостей застосування компактованих вуглецевою зв'язкою різновидісперсних порошків синтетичного та природного алмазу у шліфувальних кругах при обробленні твердих сплавів. Показано, що за часткової (50%) або повної заміни синтетичних алмазів компактованими порошками сумово (більш як втрічі) підвищується зносостійкість алмазних шліфувальних кругів.*

**Ключові слова:** вуглецева зв'язка, мікропорошки якутського природного алмазу, компакти, шліфпорошки, шліфувальні круги, зносостійкість.

*The results of studying the possibilities of using a bunch of different compacted carbon powders dispersed synthetic and natural diamond grinding wheels in the machining of hard alloys are presented. Displaying that the partial (50%) or total replacement of synthetic diamonds on compacted powders can significantly (by more than 3-fold)*

increase the wear resistance diamond grinding wheels.

**Key words:** carbon bunch, micropowders of Yakut natural diamond, compacts, grinding powders, grinding wheels, wear resistance.

### Література

1. Маршинцев В. К. Технические алмазы и производство алмазного инструмента в РС (С) / В. К. Маршинцев, Е.А. Дудко // «Кундэл»: (Науч.-информ. Сб. ННИЦ алмазов). – Якутск, 2003. – С. 21–24.
2. Новый композиционный абразивный материал из невостребованных порошков природного алмаза / В. Г. Полторацкий, Г. А. Петасюк, М. Н. Сафонова и др. // Сверхтвердые матер. – 2014. – № 2. – С. 93–104.
3. List E. A new system for single particle strength testing of grinding powders / E. List, J. Frenzel, H. Vollstadt // Industrial diamond rev. - 2006. - №1. - p. 42–47.
4. Сафонова М. Н. Компьютерно-аналитические методы диагностики эксплуатационных характеристик алмазных порошков и композиционных материалов на их основе / М. Н. Сафонова, Г. А. Петасюк, А. С. Сыромятникова. – Новосибирск : Изд-во СО РАН, 2013.–223 с.
5. Петасюк Г.А. Інтерпретаційні і прикладні аспекти деяких морфологічних характеристик порошків надтвердих матеріалів / Г.А. Петасюк // Сверхтвердые матер. – 2010. – № 2. – С. 80–95.
6. Композити на основі мікропорошків КНБ, структурованих вуглецевою зв'язкою, як функціональні елементи в структурі робочого шару алмазно-абразивного інструменту. Повідомлення 1. Шліфпорошки з композитів як абразивні елементи / В.І. Лавріненко, Б.В. Ситник, В.Г. Полторацький та ін. // Сверхтвердые матер. – 2014. – № 3. – С. 65–72.
7. Композити на основі мікропорошків КНБ, структурованих вуглецевою зв'язкою, як функціональні елементи в структурі робочого шару алмазно-абразивного інструменту. Повідомлення 2. Композити як опорні елементи / В.І. Лавріненко, Б.В. Ситник, В.Г. Полторацький та ін. // Сверхтвердые матер. – 2014. – № 5. – С. 53–60.
8. Підвищення ефективності шліфування матеріалів кругами з НТМ врахуванням електричних явищ, що супроводжують абразивну обробку // Автореф. дис. ... канд. техн. наук / О.А. Девицький. – К.: ІІМ ім. В.М. Бакуля НАН України, 2014. – 20 с.
9. Вплив функціональних домішок у робочому шарі кругів з надтвердих матеріалів та покріттів зерен на процеси електризації при шліфуванні / В.І. Лавріненко, О.А. Девицький, Б.В. Ситник та ін. // Процеси механічної обробки в машинобудуванні : зб. наук. пр. ЖДТУ. – Житомир : ЖДТУ, 2010. – Вип. 9. – С. 92–98.
10. Петасюк Г.А. Компьютерно-программная система многовариантного построения и анализа эмпирических математических моделей LrArgoх для применения в научно-прикладных задачах материаловедения / Г.А. Петасюк, О.У. Петасюк // Порошковая металлургия : республ. межвед. сб. науч. тр.– Минск, 2008. – Вып. 31. – С. 58–63.

Поступила 20.05.15

УДК 661.657.5;621.762.5

**М. П. Беженар<sup>1</sup>, д-р техн. наук, , С. М. Коновал<sup>1</sup>, Т. О. Гарбуз<sup>1</sup>, В. Т. Весна<sup>2</sup>, кандидати технічних наук, В. М. Ткач<sup>1</sup>, д-р фіз.-мат. наук; Я. М. Романенко<sup>1</sup>**

<sup>1</sup>Інститут надтвердих матеріалів ім.. В.М. Бакуля НАН України, м. Київ

<sup>2</sup>Науково-виробнича фірма „Арвіна”, м. Київ, Україна

### ОДЕРЖАННЯ НАДТВЕРДИХ КОМПОЗИТІВ З ОДНОРІДНОЮ СТРУКТУРОЮ ПРИ СПІКАННІ В УМОВАХ ВИСОКОГО ТИСКУ ПОРОШКІВ cBN, ВКРИТИХ ТИТАНОМ

Одержано надтвердий матеріал PCBN з однорідною структурою шляхом спікання за високого тиску порошків cBN, попередньо покритих титаном. Особливості структури –